

Общероссийский математический портал

Д. А. Макаров, Подход к построению нелинейного управления в задаче слежения с коэффициентами, зависящими от состояния. Часть II. Численные эксперименты, *ИТuBC*, 2017, выпуск 3, 20–33

Использование Общероссийского математического портала Math-Net.Ru подразумевает, что вы прочитали и согласны с пользовательским соглашением

<http://www.mathnet.ru/rus/agreement>

Параметры загрузки:

IP: 3.149.243.29

26 декабря 2024 г., 17:52:21



# Подход к построению нелинейного управления в задаче слежения с коэффициентами, зависящими от состояния<sup>1</sup>

## Часть II. Численные эксперименты

Д.А. Макаров

**Аннотация.** В работе с помощью численного моделирования для слабонелинейных управляемых систем исследуется нелинейная обратная связь в задаче слежения за эталонной траекторией на конечном интервале времени, построенная с использованием матричных дифференциальных уравнений Риккати с коэффициентами, зависящими от состояния. Полученные результаты численных экспериментов сравниваются с результатами вдоль соответствующих линейных управлений.

**Ключевые слова:** задача слежения, нелинейное управление, уравнения Риккати с зависящими от состояния коэффициентами, численное моделирование.

### Введение

На данный момент существует множество подходов к построению нелинейного синтеза. Один из них связан с так называемой техникой SDRE (State Dependent Riccati Equation) или техникой использования матричных уравнений Риккати для систем с коэффициентами, зависящими от состояния (обзоры [1, 2]). Суть этой техники заключается в представлении исходной нелинейной системы в псевдолинейном виде, в котором матрицы при векторе состояния и управления являются функциями от состояния. Вводя квадратичный критерий, можно для получения нелинейных законов синтеза использовать схему решения линейно-квадратичных задач, где коэффициенты усиления обратной связи находятся с помощью решения матричных уравнений Риккати.

В последние годы использование SDRE техники распространилось и на задачи слежения. В силу зависимости коэффициентов системы управления от переменных состояния её прямое применение затруднено необходимостью знания траектории системы в будущие моменты времени. Для преодоления этого был разработан подход [3, 4], который в дальнейшем использовался в других работах (например, [5-7]). Его недостатком является необходимость выполнения трудоемких с вычислительной точки зрения операций для выработки управления.

Для упрощения расчетов в работах [8-10] был предложен подход учета слабых нелинейностей модели управляемой системы для построения коррекции соответствующих линейных управлений с помощью техники SDRE. В [11] на основании этого подхода разработан алгоритм решения нелинейных непрерывных задач слежения некоторого класса с аддитивной линейной частью. В ста-

---

<sup>1</sup> Работа выполнена при финансовой поддержке РФФИ (проект № 16-38-60198).

тые приводятся результаты численных экспериментов и исследуется качество работы полученного нелинейного управления относительно соответствующего линейного управления.

## 1. Постановка задачи и алгоритм

Итак, рассматривается управляемая нелинейная система вида

$$\begin{aligned} \dot{x} &= A(x, \mu)x + B(x, \mu)u, \quad x(t_0) = x^0, \\ A(x, \mu) &= A_0 + \mu A_1(x), \quad B(x, \mu) = B_0 + \mu B_1(x), \\ x &\in X \subset \mathbb{R}^n, \quad u \in \mathbb{R}^r, \quad t \in [t_0, t_1], \quad 0 < \mu \leq \mu_0, \end{aligned} \quad (1.1)$$

где  $x$  и  $u$  – векторы состояния и управления соответственно,  $\mu_0$  – некоторое заданное достаточно малое положительное число,  $A_0$  и  $B_0$  – известные постоянные матрицы,  $A_1(x) \in \mathbb{R}^{n \times n}$ ,  $B_1(x) \in \mathbb{R}^{n \times r}$  – известные матрицы с достаточно гладкими и ограниченными по аргументу  $x$  элементами,  $X$  – некоторое ограниченное множество пространства состояний такое, что для любого непрерывного управления  $u(t)$ , траектории замкнутой системы (1.1) существуют, единственны и принадлежат  $X$  на  $[t_0, t_1]$ .

Пусть определен также функционал качества

$$\begin{aligned} I(u) &= \frac{1}{2} e^T(t_1) \mu F e(t_1) + \frac{1}{2} \int_{t_0}^{t_1} (e^T Q(x, x_r, \mu) e + u^T R u) dt \rightarrow \min_u, \\ Q(x, x_r, \mu) &= Q_0 + \mu Q_1(x, x_r), \quad e = x - x_r, \end{aligned} \quad (1.2)$$

где заданные симметрические матрицы  $Q(x, x_r, \mu) \geq 0$ ,  $Q_0 > 0$ ,  $R > 0$ ,  $F > 0$  при  $x, x_r \in X$ ,  $0 < \mu \leq \mu_0$ ,  $x_r$  – заданная (эталонная) траектория системы (1.1). Здесь и далее знаками  $> 0$  ( $\geq 0$ ) обозначается положительная определенность (полуопределенность) соответствующей матрицы. Весовая матрица  $F$  имеет множитель  $\mu$  для упрощения записи последующих выкладок. Необходимо найти такое непрерывное управление  $u(x, \mu, t)$ , которое обеспечивает приближенное решение задачи (1.1)-(1.2).

Пусть эталонная траектория для системы (1.1) описывается решением дифференциального уравнения

$$\dot{x}_r = A_r(x_r, \mu)x_r, \quad A_r(x_r, \mu) = A_{r,0} + \mu A_{r,1}(x_r), \quad x_r(t_0) = x_r^0, \quad x_r \in X \subset \mathbb{R}^n, \quad t \in [t_0, t_1],$$

где  $A_{r,0}$  – известная постоянная матрицы, а  $A_{r,1}(x_r)$  – известная матрица с достаточно гладкими и ограниченными по аргументу  $x_r$  элементами. Тогда исходная задача (1.1)-(1.2) может быть представлена [12] в виде

$$\begin{aligned} \dot{\tilde{x}} &= \tilde{A}(\tilde{x}, \mu)\tilde{x} + \tilde{B}(x, \mu)u, \quad \tilde{x}(t_0) = \tilde{x}^0, \\ \tilde{I}(u) &= \frac{1}{2} \tilde{x}^T(t_1) \mu \tilde{F} \tilde{x}(t_1) + \frac{1}{2} \int_{t_0}^{t_1} (\tilde{x}^T \tilde{Q}(\tilde{x}, \mu)\tilde{x} + u^T R u) dt \rightarrow \min_u, \end{aligned} \quad (1.3)$$

где  $\tilde{x} = \begin{bmatrix} x \\ x_r \end{bmatrix} \in \mathbb{R}^{2n}$  – расширенный вектор состояния,  $\tilde{A}(\tilde{x}, \mu) = \begin{bmatrix} A(x, \mu) & 0 \\ 0 & A_r(x_r, \mu) \end{bmatrix} \in \mathbb{R}^{2n \times 2n}$ ,

$\tilde{B}(x, \mu) = \begin{bmatrix} B(x, \mu) \\ 0 \end{bmatrix} \in \mathbb{R}^{2n \times r}$ ,  $\tilde{Q}(\tilde{x}, \mu) = \begin{bmatrix} Q(\tilde{x}, \mu) & -Q(\tilde{x}, \mu) \\ -Q(\tilde{x}, \mu) & Q(\tilde{x}, \mu) \end{bmatrix} \in \mathbb{R}^{2n \times 2n} \geq 0$ ,  $\tilde{F} = \begin{bmatrix} F & -F \\ -F & F \end{bmatrix} \in \mathbb{R}^{2n \times 2n} \geq 0$ ,

нулевые блоки в матрицах  $\tilde{A}(\tilde{x}, \mu)$  и  $\tilde{B}(x, \mu)$  есть матрицы соответствующих размерностей.

Зададим представления

$$\begin{aligned} \tilde{A}(\tilde{x}, \mu) &= \tilde{A}_0 + \mu \tilde{A}_1(\tilde{x}), \tilde{B}(x, \mu) = \tilde{B}_0 + \mu \tilde{B}_1(x), \tilde{Q}(\tilde{x}, \mu) = \tilde{Q}_0 + \mu \tilde{Q}_1(\tilde{x}) \\ \tilde{A}_0 &= \begin{bmatrix} A_0 & 0 \\ 0 & A_{r,0} \end{bmatrix}, \tilde{A}_1(\tilde{x}) = \begin{bmatrix} A_1(x) & 0 \\ 0 & A_{r,1}(x_r) \end{bmatrix}, \tilde{B}_0 = \begin{bmatrix} B_0 \\ 0 \end{bmatrix}, \tilde{B}_1(x) = \begin{bmatrix} B_1(x) \\ 0 \end{bmatrix}, \\ \tilde{Q}_0 &= \begin{bmatrix} Q_0 & -Q_0 \\ -Q_0 & Q_0 \end{bmatrix}, \tilde{Q}_1(\tilde{x}) = \begin{bmatrix} Q_1(\tilde{x}) & -Q_1(\tilde{x}) \\ -Q_1(\tilde{x}) & Q_1(\tilde{x}) \end{bmatrix} \end{aligned}$$

Введем следующие условия:

I. Траектории замкнутой системы (1.1) существуют, единственны и принадлежат  $X$  на  $[t_0, t_1]$  для любого непрерывного управления  $u(t)$ , где  $X$  – некоторое ограниченное множество пространства состояний; элементы матриц  $\tilde{A}_1(\tilde{x}), \tilde{B}_1(x)$  ограниченные, непрерывные и достаточно гладкие при  $x, x_r \in X; \mu \in (0, \mu_0]$ .

II. Тройка матриц  $\{\tilde{A}_0, \tilde{B}_0, H_0\}$ , где  $H_0^T H_0 = \tilde{Q}_0$ , стабилизируема и наблюдаема.

III. Матрицы системы  $\tilde{A}_0, \tilde{A}_1(\tilde{x}), \tilde{B}_0, \tilde{B}_1(x)$  и симметрические матрицы критерия  $R > 0, Q_0 \geq 0, Q_1(x) \geq 0, F > 0$ , а также  $\mu_0 > 0$  таковы, что  $\tilde{P}_0 + \mu \tilde{P}_1(\tilde{x}, t) > 0$  при  $x, x_r \in X, t \in [t_0, t_1], \mu \in (0, \mu_0]$ .

В работе [11] предложено управление, приближенно решающее задачу (1.3), в виде

$$u(\tilde{x}, \mu, t) = u_0(\tilde{x}) + \mu u_1(\tilde{x}, t, \mu), \tag{1.4}$$

где  $u_0(\tilde{x}) = -R^{-1} \tilde{B}_0^T \tilde{P}_0 \tilde{x}$  – линейная часть, а нелинейную коррекцию формирует

$\mu u_1(\tilde{x}, t, \mu) = -\mu R^{-1} (\tilde{B}_1^T(\tilde{x}) \tilde{P}_0 + (\tilde{B}_0 + \mu \tilde{B}_1(\tilde{x}))^T \tilde{P}_1(\tilde{x}, t)) \tilde{x}$ . Согласно [11] при условиях I-III имеем следующий численно-аналитический алгоритм построения приближенного управления в задаче нелинейного слежения.

1. Находим  $u_0(\tilde{x})$  как  $u_0(\tilde{x}) = -R^{-1} \tilde{B}_0^T \tilde{P}_0 \tilde{x}$ , где  $\tilde{P}_0$  – положительно определенное решение уравнения  $\tilde{P}_0 \tilde{A}_0 + \tilde{A}_0^T \tilde{P}_0 - \tilde{P}_0 \tilde{B}_0 R^{-1} \tilde{B}_0^T \tilde{P}_0 + \tilde{Q}_0 = 0$ .

2. Воспользовавшись одной из двух стратегий, находим  $\tilde{P}_1(\tilde{x}, t)$  с помощью

$$\tilde{P}_1(\tilde{x}, t) = e^{\tilde{A}_{cl,0}^T(t_1-t)} N e^{\tilde{A}_{cl,0}(t_1-t)} + \int_0^\infty e^{\tilde{A}_{cl,0}^T \sigma} C(\tilde{x}) e^{\tilde{A}_{cl,0} \sigma} d\sigma, \tag{1.5}$$

$$N = \tilde{F} - \int_0^\infty e^{\tilde{A}_{cl,0}^T \sigma} C(\tilde{x}(t_1)) e^{\tilde{A}_{cl,0} \sigma} d\sigma, C(\tilde{x}) = \tilde{P}_0 (\tilde{A}_1 - S_{10} \tilde{P}_0) + (\tilde{A}_1 - S_{10} \tilde{P}_0)^T \tilde{P}_0 + \tilde{Q}_1,$$

$$A_{cl,0} = \tilde{A}_0 - S_0 \tilde{P}_0, S_0 = \tilde{B}_0 R^{-1} \tilde{B}_0^T, S_{10}(x) = \tilde{B}_1 R^{-1} \tilde{B}_0^T.$$

3. Определяем итоговое управление (1.4).

Отметим, что в численных экспериментах ниже используется вторая стратегия из [11], по которой вместо  $C(\tilde{x}(t_1))$  в (1.5) используется  $C(\tilde{x}(t_1))|_{x(t_1)=x(t)}$ .

## 2. Численные эксперименты

### 2.1. Скалярные задачи

Рассмотрим задачу слежения для системы  $\frac{d}{dt}x(t) = x(t) + \mu x^3(t) + u$ , и эталонной траектории  $x_r(t) = 2e^{-t}$ , которая является решением следующего ОДУ  $\frac{d}{dt}x_r(t) = -x_r(t)$ ,  $x_r(0) = 2$ .

Функционал качества (1.2) зададим с помощью  $F = 1, Q_0 = 6, Q_1 = 0, R = 1, t_0 = 0, t_1 = 3$ . Исходные управляемую систему и систему для эталонной траектории запишем в квазилинейной форме как

$$\frac{d}{dt}x = A(x, \mu)x + B(x, \mu)u, \quad \frac{d}{dt}x_r = A_r(x_r, \mu)x_r, \\ A(x, \mu) = (1 + \mu x^2), \quad B(x, \mu) = 1, \quad A_r(x_r, \mu) = -1.$$

Далее необходимо представить матрицы системы в виде (1.1). Очевидно, что матрица  $A(x, \mu)$ , которая является подматрицей  $\tilde{A}(x, \mu)$ , уже имеет нужное нам представление  $A(x, \mu) = A_0 + \mu A_1(x)$ . Однако, далее применим более общий подход, справедливый для случаев, когда выделение  $\tilde{A}_0$  и  $\tilde{A}_1(\tilde{x})$  не столь очевидно. В качестве  $\tilde{A}_0$  выберем некоторую постоянную матрицу  $\tilde{A}_{lin}$ , тогда  $\tilde{A}_1(\tilde{x})$  определяется как  $\tilde{A}_1(x, \mu) = \frac{1}{\mu}(\tilde{A}(x, \mu) - \tilde{A}_{lin})$ . Выбор  $\tilde{A}_{lin}$  не однозначен и от него зависит выполнение условий II-III, а также эффективность построенного управления. С точки зрения практики возможны следующие рекомендации. В качестве  $\tilde{A}_{lin}$  можно выбирать:

- матрицу  $\tilde{A}(x, \mu)$ , вычисленную в начальный момент времени:  $\tilde{A}_{lin} = \tilde{A}(\tilde{x}, \mu)|_{\tilde{x}=\tilde{x}_{lin}}, \tilde{x}_{lin} = [x^0 \quad x_r^0]^T$ ;
  - матрицу  $\tilde{A}(x, \mu)$ , вычисленную в некоторой точке эталонной траектории:  $\tilde{A}_{lin} = \tilde{A}(\tilde{x}, \mu)|_{\tilde{x}=\tilde{x}_{lin}}, \tilde{x}_{lin} = [x_r(t_{lin}) \quad x_r(t_{lin})]^T, t_{lin} \in [t_0, t_1]$ ;
  - произвольную постоянную матрицу, обеспечивающую выполнение условий II-III.
- Этот же прием в общем случае предлагается использовать и для представления матриц  $\tilde{B}(x, \mu), \tilde{Q}(\tilde{x}, \mu)$ .

В данном примере определим  $\tilde{A}_{lin} = \tilde{A}(\tilde{x}, \mu)|_{\tilde{x}=\tilde{x}_{lin}}, \tilde{x}_{lin} = [x_r(t_1) \quad x_r(t_1)]^T$ . Тогда матрицы в задаче (1.3) для рассматриваемой системы определяются следующим образом

$$\tilde{A}_0 = \begin{bmatrix} 1 + 4\mu e^{-2t_1} & 0 \\ 0 & -1 \end{bmatrix}, \tilde{B}_0 = \begin{bmatrix} 1 \\ 0 \end{bmatrix}, \tilde{Q}_0 = \begin{bmatrix} 6 & -6 \\ -6 & 6 \end{bmatrix}, \tilde{A}_1(\tilde{x}) = \begin{bmatrix} x^2(t) - 4e^{-2t_1} & 0 \\ 0 & 0 \end{bmatrix}, \tilde{B}_1(x) = \begin{bmatrix} 0 \\ 0 \end{bmatrix}, \tilde{Q}_1 = \begin{bmatrix} 0 & 0 \\ 0 & 0 \end{bmatrix}.$$

Применение изложенного выше алгоритма при  $\mu=0.2$  приводит к следующим матрицам, формирующим коэффициенты усиления, и управлению (1.4)

$$\tilde{P}_0 = \begin{bmatrix} 3.65 & -1.65 \\ -1.65 & 1.65 \end{bmatrix}, \mu \tilde{P}_1(\tilde{x}, t) = \begin{bmatrix} p_1(x, t) & p_2(x, t) \\ p_2(x, t) & p_3(x, t) \end{bmatrix}, u(\tilde{x}, \mu, t) = [-3.65 \quad 1.65] \tilde{x} - \begin{bmatrix} p_1(x, t) & p_2(x, t) \\ p_2(x, t) & p_3(x, t) \end{bmatrix} \tilde{x}.$$

$$\begin{aligned}
 p_1 &= (1.00 - 0.28x^2)e^{5.29(t-t_1)} + 3.65 + 0.28x^2 - 2.73 \cdot 10^{-3}, \\
 p_2 &= (0.28x^2 - 1.00)e^{5.29(t-t_1)} + (2.41 \cdot 10^{-3} - 0.06x^2)e^{3.65(t-t_1)} + 0.03x^2 - 3.39 \cdot 10^{-4}, \\
 p_3 &= (1.00 - 0.28x^2)e^{5.29(t-t_1)} + (-4.82 \cdot 10^{-3} + 0.62x^2)e^{3.65(t-t_1)} + (3.96 \cdot 10^{-3} - 0.40x^2)e^{2.00(t-t_1)} - 5.57 \cdot 10^{-4} + 0.06x^2.
 \end{aligned}$$

Для анализа эффективности полученного управления найдем линейное управление  $u_{lin}$  с помощью хорошо известного алгоритма построения линейного сервомеханизма [12]. В качестве матриц модели и критерия возьмем определённые выше постоянные матрицы  $A_0, B_0, Q_0, R$  и  $F$ . Тогда  $u_{lin}$  является оптимальным в задаче

$$\begin{aligned}
 \frac{d}{dt}x &= A_0x + B_0u, \quad x(t_0) = x^0, \quad e = x - x_r, \\
 I(u) &= \frac{1}{2}e^T(t_1)\mu Fe(t_1) + \frac{1}{2}\int_{t_0}^{t_1}(e^T Q_0 e + u^T R u)dt \rightarrow \min_u
 \end{aligned}$$

и находится как  $u_{lin} = -R_0^{-1}B_0^T(P(t)x + q(t))$ , где матрица  $P(t)$  и вектор  $q(t)$  определяются из уравнений

$$\begin{aligned}
 \frac{dP(t)}{dt} &= -P(t)A_0 - A_0^T P(t) + P(t)B_0R_0^{-1}B_0^T P(t) - Q_0 = 0, \quad P(t_1) = \mu F, \\
 \frac{dq(t)}{dt} &= (P(t)B_0R_0^{-1}B_0^T - A_0^T)q(t) + Q_0x_r(t), \quad q(t) = -\mu Fx_r(t_1).
 \end{aligned}$$

На Рис.1 для  $\mu = 0.2$  и  $\mu = 0.25$ , а также различных начальных условий, показаны переходные процессы рассматриваемой нелинейной системы, замкнутой построенными управлениями  $u$  (сплошные тонкие линии) и  $u_{lin}$  (пунктирные тонкие линии). Жирной непрерывной линией здесь и далее на рисунках обозначается эталонная траектория  $x_r$ . Как видно, во всех рассмотренных случаях системы с нелинейным управлением  $u$  успешно решили задачу слежения, тогда как системы с линейным  $u_{lin}$  при некоторых значениях начальных условий ( $x(0) \geq 4$  и при  $x(0) \leq -5$ , если  $\mu = 0.2$ , и  $x(0) \geq 3$  и при  $x(0) \leq -4$ , если  $\mu = 0.25$ ) теряли устойчивость. Выбор матрицы  $\tilde{Q}_1$  в виде нулевой позволяет сравнивать по одному и тому же критерию найденные нелинейное и линейное управления. В Табл. 1 приведены значения отношения критериев  $I(u)$  и  $I(u_{lin})$  и значения квадратов ошибок в терминальных точках, определяемых как  $e^2(u, x(t_1)) = (x(t_1) - x_r(t_1))^2$ . Здесь и далее  $NS(s, \dots)$  означает неустойчивость замкнутых систем вдоль управлений  $s, \dots$

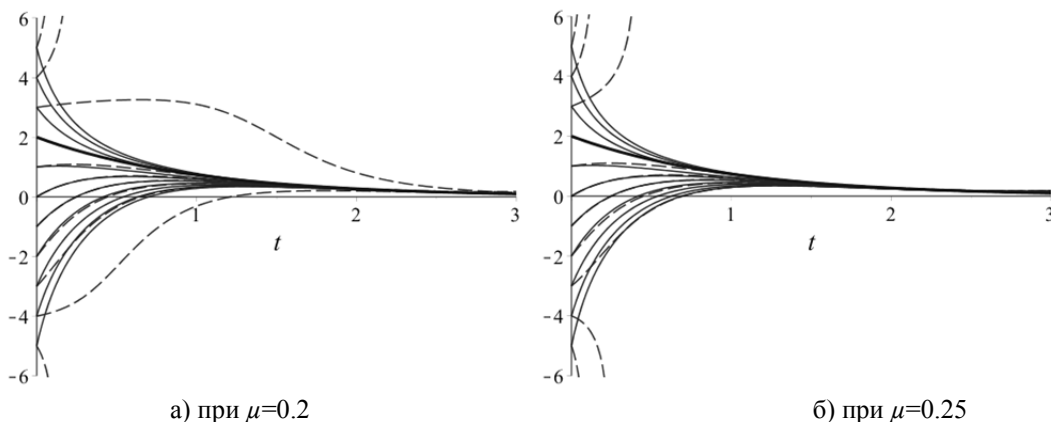


Рис. 1. Траектории систем с  $u$  и  $u_{lin}$

Табл. 1.

$x(0)$	$\mu = 0.2$			$\mu = 0.25$		
	$I(u)/I(u_{lin})$	$e^2(u, x(t_l))$	$e^2(u_{lin}, x(t_l))$	$I(u)/I(u_{lin})$	$e^2(u, x(t_l))$	$e^2(u_{lin}, x(t_l))$
5	$NS(u_{lin})$	$1,15 \cdot 10^{-9}$	$NS(u_{lin})$	$NS(u_{lin})$	$3,21 \cdot 10^{-8}$	$NS(u_{lin})$
4	$NS(u_{lin})$	$1,57 \cdot 10^{-8}$	$NS(u_{lin})$	$NS(u_{lin})$	$6,38 \cdot 10^{-8}$	$NS(u_{lin})$
3	0.19	$6,00 \cdot 10^{-8}$	$2,48 \cdot 10^{-2}$	$NS(u_{lin})$	$1,24 \cdot 10^{-7}$	$NS(u_{lin})$
1	0.97	$3,52 \cdot 10^{-7}$	$5,81 \cdot 10^{-3}$	0.95	$4,39 \cdot 10^{-7}$	$5,89 \cdot 10^{-3}$
0	1.00	$6,80 \cdot 10^{-7}$	$5,63 \cdot 10^{-3}$	1.00	$7,75 \cdot 10^{-7}$	$5,68 \cdot 10^{-3}$
-1	1.00	$1,17 \cdot 10^{-6}$	$5,49 \cdot 10^{-3}$	1.00	$1,28 \cdot 10^{-6}$	$5,53 \cdot 10^{-3}$
-2	1.00	$1,81 \cdot 10^{-6}$	$5,35 \cdot 10^{-3}$	0.99	$1,92 \cdot 10^{-6}$	$5,37 \cdot 10^{-3}$
-3	0.95	$2,55 \cdot 10^{-6}$	$5,15 \cdot 10^{-3}$	0.90	$2,65 \cdot 10^{-6}$	$5,13 \cdot 10^{-3}$
-4	0.57	$3,31 \cdot 10^{-6}$	$4,24 \cdot 10^{-3}$	$NS(u_{lin})$	$3,37 \cdot 10^{-6}$	$NS(u_{lin})$
-5	$NS(u_{lin})$	$4,02 \cdot 10^{-6}$	$NS(u_{lin})$	$NS(u_{lin})$	$4,02 \cdot 10^{-6}$	$NS(u_{lin})$

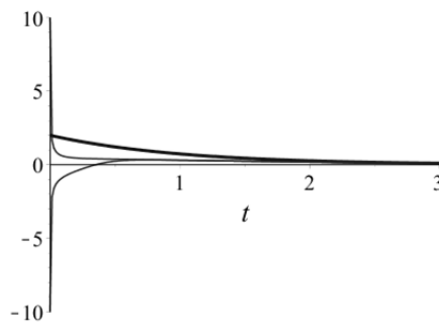


Рис. 2. Траектории с  $u$  при  $\mu=20$

Итак, в данном примере построенное нелинейное управление обладает большей областью устойчивости по начальным значениям. В худших случаях оно демонстрирует примерно такую же эффективность, как и линейное, тогда как в лучших случаях выигрыш по критерию достигает 5 раз. Во всех экспериментах квадрат ошибки слежения  $e^2(u)$  как минимум на 3 порядка меньше, чем  $e^2(u_{lin})$ . Как видно, даже незначительное увеличение  $\mu$  приводит к существенному сужению области допустимых начальных условий для  $u_{lin}$ . Тогда как  $u$  в данной задаче обеспечивает значительный запас устойчивости как по начальным условиям, так и по  $\mu$  (Рис. 2, где в обоих случаях  $e^2$  имеет порядок  $10^{-4}$ ).

Исследуем влияние горизонта регулирования на характер переходных процессов и управления при  $\mu = 1$  и  $F = 10$ . На Рис. 3 представлены результаты численного моделирования для различных значений  $t_l$ . Для всех рассмотренных случаев управление  $u$  демонстрирует приемлемое качество работы. С точки зрения ошибки в конечный момент времени наихудшим оказался эксперимент с  $t_l = 0.5$ . Очевидно, что в этом случае необходимо повышение весовых коэффициентов  $F$  и  $Q_0$ .

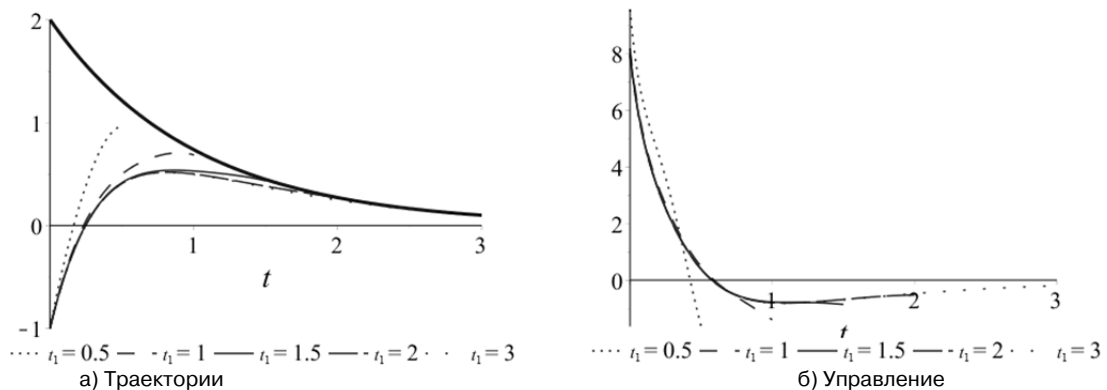


Рис. 3. Результаты моделирования для различных  $t_l$

Как можно видеть на Рис. 3, с ростом  $t_1$  управляющие сигналы становятся близки друг к другу. Это объясняется тем, что первое слагаемое в (1.5), отвечающее за ошибку в конечный момент времени, не оказывает существенного влияния, кроме некоторой окрестности терминальной точки. Таким образом, при большом горизонте регулирования матрица  $\tilde{P}_1(x, t)$ , которая есть нелинейная коррекция решения  $\tilde{P}_0$  матричного алгебраического уравнения Риккати, соответствует установившемуся решению некоторой нестационарной задачи на полуоси. Такой характер соответствия имеется и в нестационарной линейно-квадратичной задаче оптимального управления на конечном интервале, где решение матричного дифференциального уравнения Риккати стремится [13] к установившемуся решению того же дифференциального уравнения в пределе на  $[0, \infty)$ .

Отметим, что во всех рассмотренных выше случаях условия I-III алгоритма выполняются. Проверка III осуществлялась вдоль траекторий замкнутой системы. Как можно заметить, условие III всегда выполняется при достаточно малом  $\mu$ , поскольку  $\tilde{P}_0 > 0$ , а  $\tilde{P}_1(\tilde{x}, t)$  симметрична. В нашем примере коэффициенты матрицы  $\tilde{P}_1(\tilde{x}, t)$  не меняют своего знака в зависимости от  $\tilde{x}$ , что существенно облегчает проверку и обеспечение выполнения данного условия. Теперь рассмотрим более сложный пример, когда управляемая система описывается моделью  $\frac{d}{dt}x(t) = x(t) + \mu x^2(t) + u$ .

Представим ее в квазилинейной форме как

$$\frac{d}{dt}x = A(x, \mu)x + B(x, \mu)u, \quad A(x, \mu) = (1 + \mu x), \quad B(x, \mu) = 1.$$

Выбор матриц  $\tilde{A}_0, \tilde{B}_0$  осуществим описанным выше способом. Критерий оптимизации остался тем же. Применение изложенного выше алгоритма приводит к синтезу следующего нелинейного управления при  $\mu = 0.2$ :

$$u = [-3.67 \quad 1.64]\tilde{x} + [k_1 \quad k_2]\tilde{x},$$

$$k_1 = (0.276x - 1.03)e^{5.31(t-t_1)} - 0.276x + 0.03,$$

$$k_2 = (0.310 - 0.02)e^{3.65(t-t_1)} + (1.02x - 0.276x)e^{5.31(t-t_1)} - 0.034x.$$

Как видно, знаки коэффициентов усиления обратной связи теперь зависят от  $x$ . При фиксированных матрицах  $F, Q_0$  и  $R_0$  условие III не выполняется, если  $x$  имеет достаточно малое отрицательное значение. На Рис. 4 представлены переходные процессы системы для различных значений  $\mu$ , и соответствующие им сигналы управления.

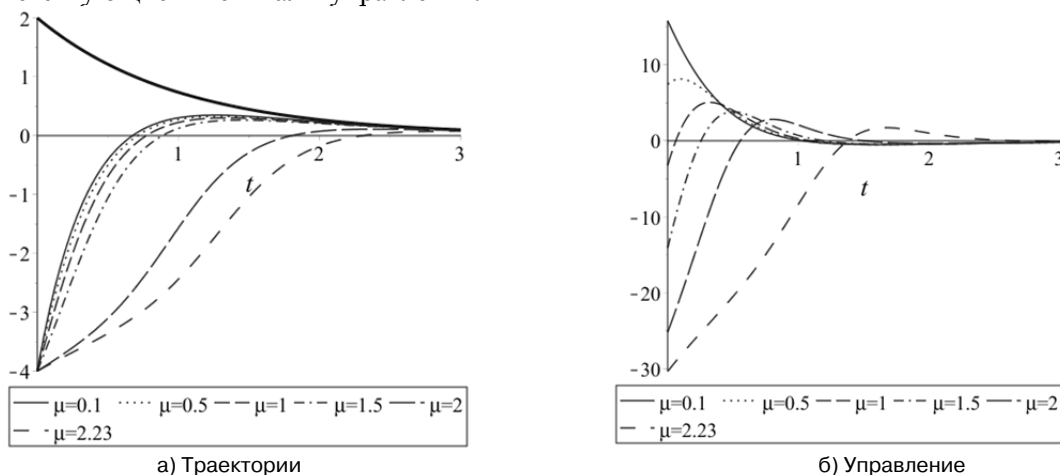


Рис. 4.

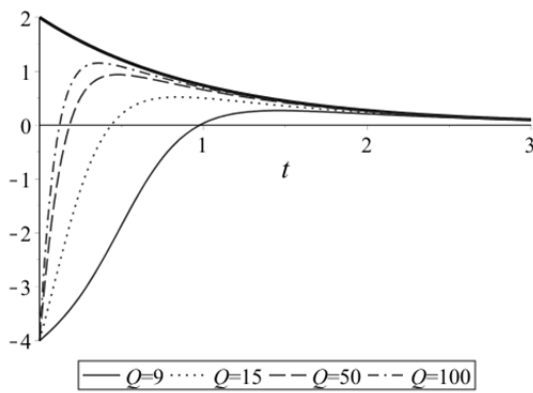


Рис. 5. Траектории для различных  $Q_0$  при  $\mu = 2.25$

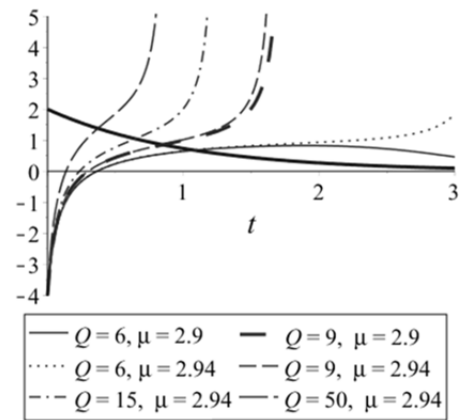


Рис. 6. Траектории с  $u_{lin}$  для различных  $Q_0$  и  $\mu$

Как и предполагалось, с увеличением значения параметра  $\mu$  качество управления ухудшается. При  $\mu > 0.23$  в начальные моменты времени условие III не выполняется, а при  $\mu > 2.24$  система теряет устойчивость. Однако, увеличение  $Q_0$  приводит к появлению свойства устойчивости замкнутой системы. Кроме того, удается достичь монотонного улучшения качества переходного процесса (Рис. 5). Интересным является тот факт, что замкнутая система с линейным управлением  $u_{lin}$  теряет устойчивость при несколько большем значении параметра  $\mu$  (кривая для  $Q = 6, \mu = 2.94$  на Рис. 6). Однако, в отличие от случая с нелинейным управлением, увеличение  $Q_0$  не приводит к появлению устойчивости. Более того, повышение  $Q_0$  уменьшает запас устойчивости системы с  $u_{lin}$ . Так при  $Q_0 = 9$  траектории системы уходят в бесконечность даже для  $\mu$ , с которым ранее задача успешно решалась (кривая для  $Q = 9, \mu = 2.9$  на Рис. 6).

В Табл. 2 приведены результаты численных экспериментов для рассматриваемой системы. Вновь траектории вдоль  $u$  оказались устойчивыми во всех случаях, тогда как переходные процессы с  $u_{lin}$  теряли устойчивость при  $\mu = 1$  и  $x(0) > 1$ . Заметим, что условие III не выполнялось в первые моменты времени для экспериментов с  $\mu = 1$  и  $x(0) < 0$  (здесь и далее – выделено серым фоном). Тем не менее, управление оказалось работоспособным и по эффективности близким к линейному.

Табл. 2.

$x(0)$	$\mu = 0.2$			$\mu = 1$		
	$I(u)/I(u_{lin})$	$e^2(u, x(t_1))$	$e^2(u_{lin}, x(t_1))$	$I(u)/I(u_{lin})$	$e^2(u, x(t_1))$	$e^2(u_{lin}, x(t_1))$
5	0.88	$2,07 \cdot 10^{-7}$	$7,40 \cdot 10^{-3}$	<i>NS</i> ( $u_{lin}$ )	$2,09 \cdot 10^{-5}$	<i>NS</i> ( $u_{lin}$ )
4	0.91	$4,12 \cdot 10^{-7}$	$6,95 \cdot 10^{-3}$	<i>NS</i> ( $u_{lin}$ )	$2,12 \cdot 10^{-5}$	<i>NS</i> ( $u_{lin}$ )
3	0.93	$7,02 \cdot 10^{-7}$	$6,60 \cdot 10^{-3}$	<i>NS</i> ( $u_{lin}$ )	$2,17 \cdot 10^{-5}$	<i>NS</i> ( $u_{lin}$ )
1	0.98	$1,59 \cdot 10^{-6}$	$6,11 \cdot 10^{-3}$	0.43	$2,28 \cdot 10^{-5}$	$1,34 \cdot 10^{-2}$
0	1.00	$2,23 \cdot 10^{-6}$	$5,93 \cdot 10^{-3}$	0.88	$2,37 \cdot 10^{-5}$	$9,38 \cdot 10^{-3}$
-1	1.00	$3,01 \cdot 10^{-6}$	$5,78 \cdot 10^{-3}$	0.98	$2,47 \cdot 10^{-5}$	$8,44 \cdot 10^{-3}$
-2	1.00	$3,97 \cdot 10^{-6}$	$5,65 \cdot 10^{-3}$	0.97	$2,62 \cdot 10^{-5}$	$8,03 \cdot 10^{-3}$
-3	1.00	$5,13 \cdot 10^{-6}$	$5,54 \cdot 10^{-3}$	0.94	$2,84 \cdot 10^{-5}$	$7,79 \cdot 10^{-3}$
-4	0.99	$6,53 \cdot 10^{-6}$	$5,44 \cdot 10^{-3}$	0.97	$3,19 \cdot 10^{-5}$	$7,65 \cdot 10^{-3}$
-5	0.98	$8,20 \cdot 10^{-6}$	$5,36 \cdot 10^{-3}$	1.19	$3,81 \cdot 10^{-5}$	$7,54 \cdot 10^{-3}$

Теперь рассмотрим ту же задачу, но с периодической эталонной траекторией, задаваемой следующим уравнением  $\frac{d}{dt}x_r(t) = -x_r(t)\sin(t)$ ,  $x_r(0) = 1$ , решением которого является  $x_r = e^{\cos(t)-1}$ .

Пусть  $t_1 = 10$  и  $\tilde{x}_{lin} = [x_r(t_{lin}) \quad x_r(t_{lin})]^T$ ,  $t_{lin} = 7$ . Результатом предлагаемого метода синтеза для  $\mu = 0.2$  является следующее управление:

Табл. 3.

$x(0)$	$I(u)/I(u_{lin})$		
	$\mu = 0.2$	$\mu = 1$	$\mu = 3$
5	0.94	$NS(u_{lin})$	$NS(u_{lin})$
4	0.97	$NS(u_{lin})$	$NS(u_{lin})$
3	0.98	0.50	$NS(u_{lin})$
2	1.00	0.86	$NS(u_{lin})$
1	1.02	0.98	0.84
0	1.02	0.97	0.78
-1	1.01	0.97	0.83
-2	1.00	0.93	$NS(u)$
-3	0.99	0.92	$NS(u)$
-4	0.98	1.17	$NS(u)$
-5	0.97	2.88	$NS(u)$

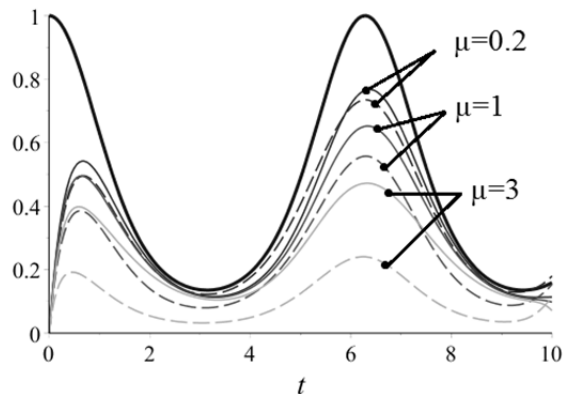


Рис. 7. Траектории систем для  $x(0) = 0$  и различных  $\mu$  вдоль  $u$  (непрерывные линии) и  $u_{lin}$  (пунктирные)

$$u = [-3.87 \quad 1.78] \tilde{x} + [k_1 \quad k_2] \tilde{x},$$

$$k_1 = (0.29x - 1.22) e^{5.42(t-t_1)} - 0.29x + 0.22,$$

$$k_2 = (0.29x + 0.53 \sin(t) - 0.45) e^{3.37(t-t_1)} + (1.06 - 0.25x) e^{5.42(t-t_1)} - 0.05x - 0.53 \sin(t) + 0.38.$$

Результаты численного моделирования для различных  $\mu$  приведены в Табл. 3 и на Рис. 7.

При  $\mu = 0.2$  построенные управления демонстрируют примерно одинаковую эффективность. При  $\mu = 1$  и  $\mu = 3$  условие III не выполняется для экспериментов с  $x(0) < -1$  и  $x(0) < -0$  соответственно. Видно, что в этих случаях управление  $u$  начинает уступать  $u_{lin}$  с уменьшением начальных условий. При  $\mu = 3$  и  $x(0) < -2$  замкнутая система с  $u$  теряет устойчивость. С увеличением начальных условий наблюдается обратная ситуация и система вдоль  $u_{lin}$  становится неустойчивой при  $x(0) > 3$  и  $x(0) > 0$  для  $\mu = 1$  и  $\mu = 3$  соответственно. В целом, можно отметить несколько большую область допустимых начальных значений для нелинейного управления  $u$ .

### 2.2. Задача слежения для продольной динамики БПЛА

Рассмотрим задачу слежения для упрощенной продольной динамики беспилотного летательного аппарата (БПЛА), а именно – модели квадрокоптера AscTec Hummingbird [13]. Зададимся двумерной системой координат, начало которой располагается в центре масс БПЛА, ось  $y$  располагается в продольной плоскости БПЛА, ось  $z$  направлена вертикально вверх (Рис. 8 из [14]). На квадрокоптер действуют сила тяжести  $g$ , подъемные силы  $f_a, f_c$  винтов, расположенных в продольной плоскости, под действием которых, создается момент сил, отклоняющий его на угол тангажа  $\phi$  с угловой скоростью  $\omega_x$ , результирующая подъемная сила обозначена как  $f_{coll}$ .

Благодаря встроенному контроллеру и быстрому отклику на управляющее воздействие для AscTec Hummingbird угловая скорость  $\omega_x$  также может рассматриваться в качестве канала управления помимо результирующего вектора тяги  $f_{coll}$ . Воспользуемся моделью продольной динамики из [14], проигнорировав уравнение для вертикальной скорости БПЛА

$$\frac{d}{dt} v_y(t) = -f_{coll}(t) \cdot \sin(\phi(t)),$$

$$\frac{d}{dt} \phi(t) = \omega_x(t),$$

где  $v_y$  – проекция воздушной скорости БПЛА на ось  $y$  соответственно. Таким образом, вектором состояния является  $x = [v_y, \phi]^T$ , а вектором управления  $u = [f_{coll}, \omega_x]^T$ .

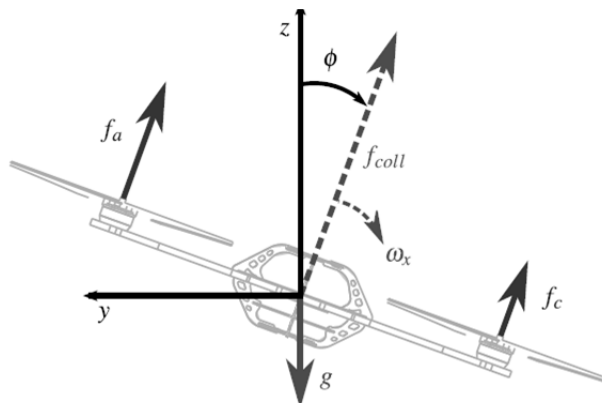


Рис. 8.

Подчеркнем, что для данной физической модели существует связь между координатой  $y$  и углом тангажа  $\phi$ . Так, при нулевом угле тангажа продольная скорость становится неуправляемой. Кроме того,  $\sin(\phi)$  является знакопеременным множителем перед управлением  $f_{coll}$ , которое с физической точки зрения всегда положительно. В данных экспериментах считается, когда это необходимо, что винты могут создавать обратную силу тяги. Ограничения на управление не рассматриваются.

Пусть желаемая траектория задается с помощью уравнений

$$\frac{d}{dt}x_{r,1}(t) = -0.5x_{r,1}(t), \quad \frac{d}{dt}x_{r,2}(t) = -0.5x_{r,2}(t), \quad x_{r,1}(0) = -1, \quad x_{r,2}(0) = 0.6,$$

где  $x_{r,1}$  и  $x_{r,2}$  – эталонные траектории для продольной скорости  $y$ , и угла тангажа  $\phi$  соответственно. Решениями этих уравнений являются  $x_{r,1}(t) = -e^{-0.5t}$ ,  $x_{r,2}(t) = 0.6e^{-0.5t}$ . Функционал качества зададим с помощью

$$F = \begin{bmatrix} 50 & 0 \\ 0 & 10 \end{bmatrix}, \quad Q_0 = \begin{bmatrix} 30 & 0 \\ 0 & 1 \end{bmatrix}, \quad Q_1 = \begin{bmatrix} 0 & 0 \\ 0 & 0 \end{bmatrix}, \quad R = \begin{bmatrix} 1 & 0 \\ 0 & 1 \end{bmatrix}, \quad t_0 = 0, \quad t_1 = 3.$$

Факторизуем исходную систему следующим образом

$$\frac{d}{dt}x = A(x, \mu)x + B(x, \mu)u, \quad \frac{d}{dt}x_r = A_r(x_r, \mu)x_r,$$

$$A(x, \mu) = \begin{bmatrix} 0 & 0 \\ 0 & 0 \end{bmatrix}, \quad B(x, \mu) = \begin{bmatrix} \sin(x_2(t)) & 0 \\ 0 & 1 \end{bmatrix}, \quad A_r(x_r, \mu) = \begin{bmatrix} -0.5 & 0 \\ 0 & -0.5 \end{bmatrix}.$$

Отметим, что параметр  $\mu$  здесь является искусственно введенным и равным 1. Зафиксируем начальное значение продольной скорости как  $x_1(0) = 0$ , а начальное значение угла тангажа  $x_2(0)$  будем варьировать от -1.5 рад. до 1.5 рад. с шагом 0.5 рад.

Далее необходимо определить матрицы  $\tilde{A}_0, \tilde{B}_0, \tilde{Q}_0$  и  $\tilde{A}_1(\tilde{x}), \tilde{B}_1(\tilde{x}), \tilde{Q}_1(\tilde{x})$  так, чтобы выполнялись условия I-III. Определим  $\tilde{B}_{lin} = \tilde{B}(\tilde{x}, \mu)|_{\tilde{x}=\tilde{x}_{lin}}$ ,  $\tilde{x}_{lin} = [x_r(t_{lin}) \quad x_r(t_{lin})]^T$ . Рассмотрим два случая: а)  $t_{lin}=0$  и б)  $t_{lin}=1.5$ . Результаты численного моделирования представлены в Табл. 4 и на Рис. 9.

В случае а) условия I-III выполнялись для всех экспериментов. При  $x_2(0) > 0$  построенное нелинейное управление немного уступает линейному. При  $x_2(0) < 0$  преимущество  $u$  перед  $u_{lin}$  существенно. В случае б) при  $x_2(0) > 0$  условие III не выполняется и при  $x_2(0) > 0.5$  замкнутая система вдоль  $u$  теряет устойчивость. При  $x_2(0) < 0$  вновь наблюдается значительный выигрыш для  $u$ . На Рис. 9 представлены траектории замкнутых систем вдоль  $u$  и  $u_{lin}$  (сплошные и пунктирные линии соответственно) для случая а) при  $x_2(0) = -0.5$ .

Табл. 4.

$x_2(0)$	$I(u)/I(u_{lin})$	
	а)	б)
1.5	1.13	$NS(u)$
1	1.08	$NS(u)$
0.5	1.05	1.04
0	0.84	0.88
-0.5	0.04	0.06
-1	$1,04 \cdot 10^{-3}$	$1,75 \cdot 10^{-3}$
-1.5	$2,95 \cdot 10^{-5}$	$5,52 \cdot 10^{-5}$

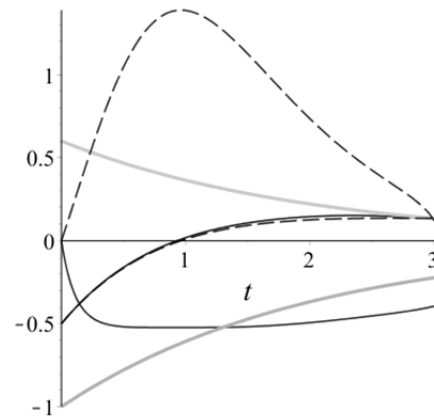


Рис. 9. Траектории для а) при  $x_2(0) = -0.5$  вдоль  $u$  и  $u_{lin}$  (сплошные и пунктирные линии соответственно)

Пусть теперь эталонная траектория задается уравнениями

$$\frac{d}{dt}x_{r,1}(t) = -0.01 \cdot x_{r,1}(t), \quad \frac{d}{dt}x_{r,2}(t) = -x_{r,2} \cdot \sin(0.5t), \quad x_{r,1}(0) = 1, \quad x_{r,2}(0) = -0.8.$$

Их решениями являются функции  $x_{r,1}(t) = e^{-0.01t}$ ,  $x_{r,2}(t) = -0.8e^{2(\cos(0.5t)-1)}$ . То есть требуется, чтобы квадрокоптер поддерживал почти постоянную продольную скорость, а его угол тангажа менялся по периодической траектории. После факторизации матриц системы получаем

$$\tilde{A}(\tilde{x}, \mu) = \begin{bmatrix} 0_{2 \times 2} & 0_{2 \times 2} \\ 0_{2 \times 2} & A_r(x_r, \mu) \end{bmatrix}, \quad \tilde{B}(x, \mu) = \begin{bmatrix} B(x, \mu) \\ 0_{2 \times 2} \end{bmatrix},$$

$$A_r(x_r, \mu) = \begin{bmatrix} -0.01 & 0 \\ 0 & -\sin(0.5t) \end{bmatrix}, \quad B(x, \mu) = \begin{bmatrix} \sin(x_2(t)) & 0 \\ 0 & 1 \end{bmatrix},$$

где  $0_{2 \times 2}$  – нулевая матрица соответствующей размерности. Снова рассмотрим два выбора матриц с нулевыми индексами: а)  $\tilde{A}_{lin} = \tilde{A}(\tilde{x}, \mu)|_{\tilde{x}=\tilde{x}_{lin}}$ ,  $\tilde{B}_{lin} = \tilde{B}(\tilde{x}, \mu)|_{\tilde{x}=\tilde{x}_{lin}}$ ,  $\tilde{x}_{lin} = [x_r(t_{lin}) \quad x_r(t_{lin})]^T$ ,  $t_{lin} = 1.7$  и б)

$$\tilde{A}_{lin} = \begin{bmatrix} 0_{2 \times 2} & 0_{2 \times 2} \\ 0_{2 \times 2} & A_{r,lin} \end{bmatrix}, \quad \tilde{B}_{lin} = \begin{bmatrix} B_{lin} \\ 0_{2 \times 2} \end{bmatrix}, \quad \text{где } A_{r,lin} = \begin{bmatrix} -0.01 & 0 \\ 0 & -2.2 \end{bmatrix}, \quad B_{lin} = \begin{bmatrix} -1.2 & 0 \\ 0 & 1 \end{bmatrix}.$$

В случае а) время  $t = 1.7$  выбрано как момент выхода  $x_{r,2}(t)$  на среднее значение периодических траектории. В случае б) матрицы  $A_{r,lin}$  и  $B_{lin}$  являются искусственными и не соответствуют никаким значениям  $\tilde{A}(\tilde{x}, \mu)$ ,  $\tilde{B}(\tilde{x}, \mu)$  ни при каких  $x_r(t)$  и  $x(t)$ . Результаты численного моделирования приведены в Табл. 5, где верхний индекс означает соответствующий выбор  $\tilde{A}_0, \tilde{B}_0$ .

В экспериментах для а) условие III в некоторые моменты времени нарушалось, а экспериментах для б) условия I-III всегда выполнялись. Последняя строчка в Табл. 5 означает отношение сумм значений критериев. Видно, что для экспериментов а) в среднем управление  $u$  проигрывает  $u_{lin}$  примерно 30%, тогда как для экспериментов б) оно улучшает эффективность  $u_{lin}$  примерно в 10 раз. Последнее соотношение сохраняется и в том случае, когда нелинейно управление определялось согласно подходу б), а линейное – согласно а). Корректность такого сравнения обуславливается тем, что управляемая система и матрицы критерия для а) и б) полностью совпадают.

Табл. 5.

$x_2(0)$	$I(u^a)/I(u_{lin}^a)$	$I(u^b)/I(u_{lin}^b)$	$I(u^c)/I(u_{lin}^c)$
1.5	0.03	0.02	0.02
1	0.12	0.07	0.07
0.5	0.37	0.47	0.48
0	0.91	1.23	1.24
-0.5	1.04	1.31	1.32
-1	3.33	1.33	1.34
-1.5	236.08	1.32	1.33
$\Sigma I(u)/\Sigma I(u_{lin})$	<b>1.32</b>	<b>0.09</b>	<b>0.09</b>

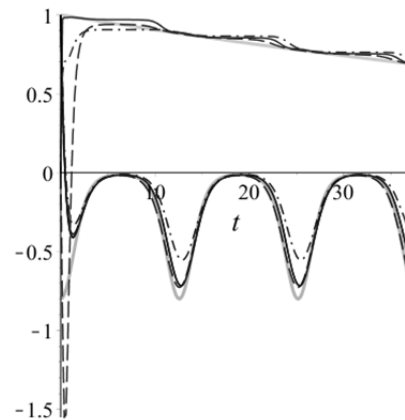


Рис. 10. Траектории систем вдоль  $u^a$ ,  $u_{lin}^a$  и  $u^b$  (сплошные, пунктирные и штрихпунктирные линии соответственно)

## Заключение

В работе рассмотрен алгоритм построения нелинейного управления в задаче слежения на конечном интервале времени для слабонелинейных систем управления, которые представимы в виде линейных управляемых систем с зависящими от состояния коэффициентами. Алгоритм основывается на присутствии в системе малого параметра и решении на полуоси линейно-квадратичной задачи оптимального управления с постоянными коэффициентами, что позволяет получить искомую обратную связь как сумму линейного управления и его нелинейной коррекции, где для последней получено аналитическое выражение. Такой прием значительно снижает вычислительную сложность нахождения управляющего сигнала, что существенно для решения нелинейных задач слежения в режиме реального времени.

Проведенные численные эксперименты показали, что, несмотря на приближенный характер полученных решений, достигается качество работы, сопоставимое с соответствующим линейным управлением, а иногда и значительно его превосходящее. Кроме того, зачастую удается расширить рабочую область допустимых начальных условий относительно рабочей области последнего. Основным условием, ограничивающим применения предложенного алгоритма, является необходимость положительной определенности некоторой матрицы с зависящими от состояния коэффициентами (условие III алгоритма), что всегда можно гарантировать лишь при достаточно малом значении параметра.

Возможной областью применения предложенного алгоритма являются такие задачи слежения для нелинейных систем, в которых использование линейных законов управления не обеспечивает необходимой области устойчивости и/или приемлемого качества работы, и в которых имеются существенные ограничения на вычислительные ресурсы.

## Литература

1. Çimen T. Survey of state-dependent Riccati equation in nonlinear optimal feedback control synthesis // Journal of Guidance, Control, and Dynamics. 2012. Vol. 35. №. 4. Pp. 1025-1047.
2. Cloutier J.R. State-Dependent Riccati Equation Techniques: An Overview // Proc. American Control Conference. 1997. Vol. 2. Pp. 932-936.
3. Heydari A., Balakrishnan S.N. Path Planning Using a Novel Finite Horizon Suboptimal Controller // Journal of guidance, control, and dynamics. 2013. Vol. 36, No. 4. Pp. 1210-1214.
4. Heydari A., Balakrishnan S.N. Closed-Form Solution to Finite-Horizon Suboptimal Control of Nonlinear Systems // International Journal of Robust and Nonlinear Control. 2015. Vol. 25. №.15. Pp. 2687-2704.
5. Khamis A., Naidu D. Nonlinear optimal tracking using finite horizon state dependent Riccati equation (SDRE) //Proceedings of the 4th International Conference on Circuits, Systems, Control, Signals (WSEAS). 2013. Pp. 37-42.

6. A. Khamis, D.S. Naidu, A.M. Kamel. Nonlinear Finite-Horizon Regulation and Tracking for Systems with Incomplete State Information Using Differential State Dependent Riccati Equation // International Journal of Aerospace Engineering. Vol. 2014 (2014). 12 pages. <http://dx.doi.org/10.1155/2014/178628>
7. A. Khamis, C. Chen, D. S. Naidu. Tracking of a robotic hand via SD-DRE and SD-DVE strategies//The 2016 UKACC International Conference on Control (UKACC Control 2016), At Belfast, UK Conference Paper · August 2016. DOI: 10.1109/CONTROL.2016.7737638
8. Дмитриев М.Г., Макаров Д.А.. Гладкий нелинейный регулятор в слабо нелинейной системе управления с коэффициентами, зависящими от состояния. Труды Института системного анализа РАН, том 64, №4. – 2014, стр.53-58
9. Ю.Э. Даник, М.Г. Дмитриев, Д.А. Макаров. Один алгоритм построения регуляторов для нелинейных систем с формальным малым параметром //Информационные технологии и вычислительные системы, №4, 2015.-стр.35-44
10. Dmitriev M. G., Makarov D. A. The near optimality of the stabilizing control in a weakly nonlinear system with state-dependent coefficients // AIP Conference Proceedings. Kazakhstan, Almaty, Sep. 7-10, Vol. 1759, 020013 (2016).
11. Макаров Д.А. Подход к построению нелинейного управления в задаче слежения с коэффициентами, зависящими от состояния. I. Алгоритм // Информационные технологии и вычислительные системы (направлено в редакцию).
12. Методы классической и современной теории автоматического управления: Учебник в 5-и тт.; 2-е изд., перераб. и доп. Т 4. Теория оптимизации систем автоматического управления / Под ред. К.А. Пупкова и Н.Д. Егупова. М.: Издательство МГТУ им. Баумана, 2004. - 744с.; ил.
13. Квакернаак Х., Сиван Р. Линейные оптимальные системы управления. М.: Изд-во «Мир», 1977. 650 с.
14. <http://www.asctec.de/uav-applications/research/products/asctec-hummingbird/>
15. Schoellig A.P., Mueller F.L., D'Andrea R. Optimization-based iterative learning for precise quadrocopter trajectory tracking // Autonomous Robots. 2012. V.33. №.1-2. P. 103-127.

**Макаров Дмитрий Александрович.** Ведущий научный сотрудник общества с ограниченной ответственностью «Технологии системного анализа» (ООО «ТСА»). Окончил Рыбинскую государственную авиационную технологическую академию им. П.А. Соловьева в 2008 году. Кандидат физико-математических наук. Количество печатных работ: 30. Область научных интересов: управление сложными динамическими системами, робастные методы устойчивости и стабилизируемости, искусственный интеллект, экспертные системы. E-mail: makarov@isa.ru

## **A nonlinear approach to a feedback control design for a tracking state-dependent problem**

### **Part II. Numerical simulations**

D.A. Makarov

**Abstract.** The paper deals with investigation of nonlinear finite-horizon tracking control for weakly nonlinear control systems. That nonlinear tracking control is constructed using a differential matrix state-dependent Riccati equation. The obtained results of numerical simulations are compared with the results along the corresponding linear controls.

**Keywords:** tracking problem, nonlinear control, state-dependent Riccati equation, numerical simulation.

### **References**

1. Çimen T. 2012. Survey of state-dependent Riccati equation in nonlinear optimal feedback control synthesis. Journal of Guidance, Control, and Dynamics. 35(4): 1025-1047.
2. Cloutier J.R. 1997. State-Dependent Riccati Equation Techniques: An Overview. Proc. American Control Conference. 2: 932-936.
3. Heydari A. and Balakrishnan S.N. Path Planning Using a Novel Finite Horizon Suboptimal Controller. 2013. Journal of guidance, control, and dynamics. 36(4): 1210-1214.
4. Heydari A. and Balakrishnan S.N. 2015. Closed-Form Solution to Finite-Horizon Suboptimal Control of Nonlinear Systems. International Journal of Robust and Nonlinear Control. 25(15): 2687-2704.
5. Khamis A. and Naidu D. 2013. Nonlinear optimal tracking using finite horizon state dependent Riccati equation (SDRE). Proceedings of the 4th International Conference on Circuits, Systems, Control, Signals (WSEAS). 37-42.
6. Khamis A., Naidu D.S. and Kamel A.M. Nonlinear Finite-Horizon Regulation and Tracking for Systems with Incomplete State Information Using Differential State Dependent Riccati Equation. International Journal of Aerospace Engineering. 2014 (2014): 12 pages. <http://dx.doi.org/10.1155/2014/178628>
7. Khamis A., Chen C. and Naidu D. S. 2016. Tracking of a robotic hand via SD-DRE and SD-DVE strategies. The 2016 UKACC International Conference on Control (UKACC Control 2016), Belfast, UK, August 2016. DOI: 10.1109/CONTROL.2016.7737638
8. Dmitriev M.G. and Makarov D.A. 2014. Smooth nonlinear controller in a weakly nonlinear control system with state-dependent coefficients. Proceedings of the Institute for System Analysis of RAS. 64(4): 53-58.

9. Danik Yu.E., Dmitriev M.G. and Makarov D.A. 2015. An algorithm for constructing regulators for nonlinear systems with the formal small parameter. *Information technology and computer systems*. 4: 35-44.
10. Dmitriev M.G. and Makarov D.A. 2016. The near optimality of the stabilizing control in a weakly nonlinear system with state-dependent coefficients. *AIP Conference Proceedings*. Kazakhstan, Almaty, Sep. 7-10. 1759. 020013 (2016).
11. Makarov D.A. 2017. A nonlinear approach to a feedback control design for a tracking state-dependent problem. I. An algorithm. *Information technology and computer systems*. (accepted by the editors of "Information Technologies And Computer Systems").
12. *Methods of classical and modern theory of automatic control: A textbook in 5 volumes; 2-nd ed., revised and enlarged. Volume 4. Theory of optimization of automatic control systems*, edited by K.A. Pupkov and N.D. Egupov. 2004. Moscow: Publishing house MSTU. Bauman. 744p.
13. Kvakernaak H. and Sivan R. 1977. *Linear optimal control systems*. Moscow: Mir. 650 p.
14. <http://www.asctec.de/uav-applications/research/products/asctec-hummingbird/>
15. Schoellig A.P., Mueller F.L. and D'Andrea R. 2012. Optimization-based iterative learning for precise quadcopter trajectory tracking. *Autonomous Robots*. 33(1): 103-127.

**Makarov Dmitry Alexandrovich.** "Technologies Of System Analysis" Ltd, leading researcher. Cand. Sci. (Physics and Mathematics). Author of 30 scientific papers. Research interests: nonlinear and robust control, composite control, artificial intelligence.